

DOI:10.11937/bfyy.201612040

毛细管电泳—电化学检测法测定淮山中三种植物甾醇含量

胡月芳

(贺州学院 化学与生物工程学院,广西 贺州 542899)

摘要:以淮山为试材,采用毛细管电泳—电化学检测(CE-ED)方法测定淮山中3种植物甾醇(麦角甾醇、胆甾醇、 β -谷甾醇)的含量,考察了检测电位、运行缓冲液浓度和pH、分离电压及进样时间等对检测效果的影响。结果表明:在优化的条件下,对 $0.5 \text{ mg} \cdot \text{L}^{-1}$ 麦角甾醇、胆甾醇、 β -谷甾醇混合标准溶液连续6次进行测定在10 min内实现了分离,线性范围分别为 $0.1\sim 1500$ 、 $0.1\sim 1000$ 、 $0.1\sim 1200 \mu\text{g} \cdot \text{L}^{-1}$,检出限分别为 0.03 、 0.04 、 $0.03 \mu\text{g} \cdot \text{L}^{-1}$,峰电流的相对标准偏差(RSD)分别为 1.5% 、 1.7% 、 1.6% ,迁移时间RSD分别为 0.6% 、 0.7% 、 0.6% 。该方法已用于淮山样品中胆甾醇、麦角甾醇和 β -谷甾醇的测定,加标回收率在 $97.6\% \sim 100.3\%$,相对标准偏差(RSD) $\leqslant 2.3\%$ 。

关键词:毛细管电泳—电化学检测;淮山;麦角甾醇;胆甾醇; β -谷甾醇

中图分类号:Q 946 **文献标识码:**A **文章编号:**1001-0009(2016)12-0162-04

淮山(*Dioscorea opposita* Thunb)别名山药、怀山药等,是一种常用药材和较佳的保健食品^[1]。淮山除了含活性多糖、薯蓣皂苷、腺苷、尿囊素、黄酮、氨基酸等成分之外,还含有植物甾醇类成分(麦角甾醇、胆甾醇、 β -谷甾醇)、胆碱、尿嘧啶等多种化学成分^[2-3]。其中,植物甾醇具有抗癌、降血浆胆固醇及降血糖血脂等多种生理功能,已被作为原料合成甾体类等药物^[4]。

常见用来分析药物中植物甾醇类成分的方法有高效液相色谱法(HPLC)^[5-7]、气相色谱法(GC)^[8]。HPLC和GC具有分析速度快、分离效率高、试剂与样品消耗量少等优点,但色谱柱价格昂贵,容易被污染,分析成本高。毛细管电泳(CE)广泛应用于复杂物质分离检测中^[9-10],CE和电致化学发光联用技术虽已成功应用于一些活性物质的检测^[11],灵敏度和选择性高,但重现性不佳。毛细管电泳—电化学检测法(CE-ED)是一种高灵敏、高选择性、重现性好及分析速度快的分离分析方法,较适用于药用植物活性成分及复杂体系分离检测的研究^[12-15]。迄今为止尚鲜见采用CE-ED方法同时测定麦

角甾醇、胆甾醇、 β -谷甾醇含量的报道。该研究采用CE-ED对淮山中麦角甾醇、胆甾醇、 β -谷甾醇含量进行测定,对于进一步综合开发功能性保健食品淮山提供了理论依据,促进淮山资源的开发与利用。

1 材料与方法

1.1 试验材料

供试淮山样品购于阳光市场;麦角甾醇、胆甾醇、 β -谷甾醇(美国Sigma公司);其它试剂均为分析纯。麦角甾醇、胆甾醇、 β -谷甾醇标准储备液的质量浓度均为 $1.00 \text{ g} \cdot \text{L}^{-1}$,用乙醇及二次蒸馏水配制,使用时用运行缓冲液稀释至所需浓度。

毛细管电泳—电化学检测系统(CE-ED)为自组装^[15],包括可调高压电源(±30 kV),CHI660D电化学工作站(北京华科普天科技有限公司);长55 cm石英毛细管,25 μm 内径(河北永年光导纤维厂);三维定位调节器;三电极体系包括:工作电极(直径125 μm 铜圆盘电极),对电极(铂丝电极),参比电极(Ag/AgCl电极);0.22 μm 乙酸纤维素滤膜(上海新亚净化器件厂)。

1.2 试验方法

淮山样品提取液的制备:挑选完好的新鲜淮山,60 °C烘干4 h,用研钵研成细粉,准确称5.0 g粉末,加入70%乙醇100 mL,室温浸泡24 h。离心过滤,滤渣用70%乙醇10 mL洗涤2次,最后用 $0.10 \text{ mol} \cdot \text{L}^{-1}$ 的

作者简介:胡月芳(1977-),女,硕士,副教授,研究方向为电化学分析。E-mail:huyuefang@126.com

基金项目:广西高校科学技术研究资助项目(2013YB238);贺州市科学研究与技术开发计划资助项目(贺科转1408035)。

收稿日期:2016-01-11

$\text{Na}_2\text{B}_4\text{O}_7\text{-H}_3\text{BO}_3$ 缓冲溶液定容至 250 mL。备用。

毛细管用 0.1 mol·L⁻¹ NaOH、二次蒸馏水、缓冲液分别冲洗 5、10、15 min 后使用；铜圆盘电极用细砂纸打磨，用粒径 0.3 μm 氧化铝粉末抛光平整，并于 0~0.95 V(vs. Ag/AgCl)在 NaOH 溶液中扫描，进行电化学处理。采用自组装的 CE-ED 检测系统，调节工作电极与毛细管出口在同一直线上，最大程度靠近毛细管的末端，以优化后的条件电动进样，检测池为阴极电泳槽。所有溶液使用前均用 0.22 μm 乙酸纤维素滤膜过滤。

2 结果与分析

2.1 检测电位的优化

考察了不同检测电位对 0.1 mg·L⁻¹ 麦角甾醇、胆甾醇、β-谷甾醇电流的影响。从图 1 可以看出，在 0.6~1.0 V 随氧化电位的增加，麦角甾醇、胆甾醇、β-谷甾醇的峰电流不断增高，且在 0.85 V 前增高较快，之后缓慢增高。随着检测电位的增大，本底电流和噪音均增加，当检测电位高于 0.85 V 时基线很不稳定，基底电流明显提高，噪音也较大。综合考虑灵敏度及稳定性等因素，选择 0.85 V 为最佳检测电位。

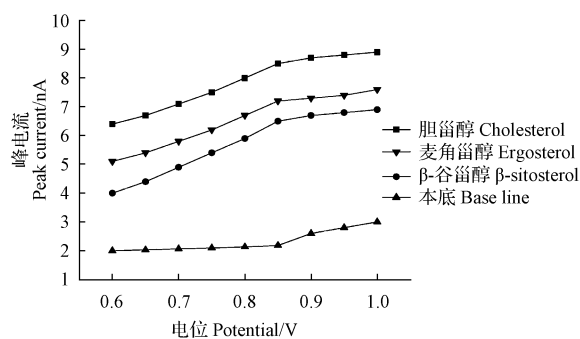


图 1 检测电位对麦角甾醇、胆甾醇、β-谷甾醇峰电流的影响

Fig. 1 Effect of detection potential on the peak current of ergosterol, cholesterol, β -sitosterol standards

2.2 运行缓冲溶液浓度与 pH 的选择

选择 $\text{Na}_2\text{B}_4\text{O}_7\text{-H}_3\text{BO}_3$ 作为运行缓冲溶液，考察不同浓度的 $\text{Na}_2\text{B}_4\text{O}_7\text{-H}_3\text{BO}_3$ 溶液对分离效果的影响。如图 2 所示，浓度较低时，麦角甾醇、胆甾醇、β-谷甾醇因迁移时间较短未能得到好的基线分离；浓度太高时，分离时间随迁移时间变长而变长，且电泳电流增大导致基线噪音增大，峰电流降低。综合考虑，选择 0.10 mol·L⁻¹ $\text{Na}_2\text{B}_4\text{O}_7\text{-H}_3\text{BO}_3$ 溶液为最优浓度。

固定 $\text{Na}_2\text{B}_4\text{O}_7\text{-H}_3\text{BO}_3$ 缓冲液浓度 0.10 mol·L⁻¹，考察了 pH 在 7.5~10.0 对分离检测效果的影响。结果表明，当 pH 小于 8.5 时，麦角甾醇、胆甾醇、β-谷甾醇不能基线分离，随着 pH 增加，迁移时间增长，分离效果提高，但电流峰型变宽。因此，考虑到要使麦角甾醇、胆甾

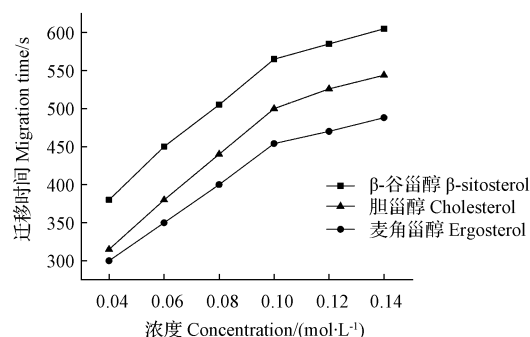


图 2 缓冲溶液浓度对麦角甾醇、胆甾醇、 β -谷甾醇迁移时间的影响

Fig. 2 Effect of buffer concentration on migration time of ergosterol, cholesterol, β -sitosterol standards

醇、 β -谷甾醇全部分离，选择缓冲液较小 pH 较合适。综合考虑，选择 pH 8.5 的 $\text{Na}_2\text{B}_4\text{O}_7\text{-H}_3\text{BO}_3$ 溶液作为运行缓冲液。

2.3 分离电压和进样时间的选择

考察了分离电压在 12~24 kV 范围内对分离检测的影响。图 3 表明，当分离电压升高，迁移时间逐渐缩短，太高的分离电压使分离效果降低，但分离电压太低也会使迁移时间变长，电泳峰型变宽。综合考虑各物质的分离度、灵敏度、迁移时间及焦耳热等对分离检测的影响，选择 18 kV 为最优分离电压。

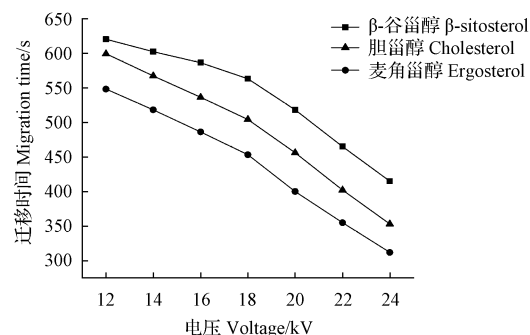


图 3 分离电压对麦角甾醇、胆甾醇、 β -谷甾醇迁移时间的影响

Fig. 3 Effect of separation voltage on migration time of ergosterol, cholesterol, β -sitosterol standards

在选定最优运行缓冲溶液浓度、pH 和分离电压条件下，考察了不同进样时间对麦角甾醇、胆甾醇、 β -谷甾醇电流的影响。如图 4 所示，开始时，峰电流随进样时间的增长而增高，但进样时间超过 8.0 s 后峰电流增加不明显，基线电流增高，电泳峰展宽，峰拖尾等现象，各分析物的分离效果降低，重现性差。综合考虑，选择 8.0 s 为最佳进样时间。

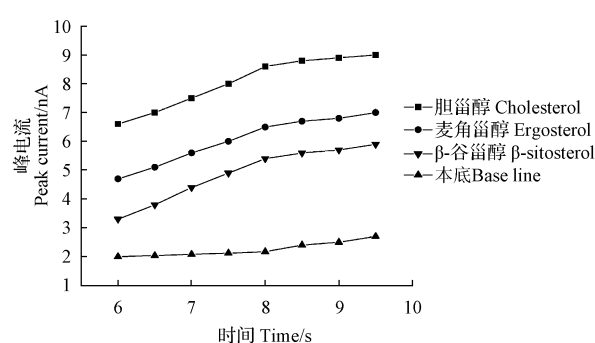
图 4 进样时间对麦角甾醇、胆甾醇、 β -谷甾醇峰电流的影响

Fig. 4 Effect of inject time on peak current of ergosterol, cholesterol, β -sitosterol standards

2.4 重复性、线性范围与检出限

配制一系列不同浓度的麦角甾醇、胆甾醇、 β -谷甾醇的混合标准溶液,以 $0.5 \text{ mg} \cdot \text{L}^{-1}$ 麦角甾醇、胆甾醇、 β -谷甾醇的分离测定不产生干扰,并不影响测定结果。

表 1 麦角甾醇、胆甾醇、 β -谷甾醇混合溶液的回归方程、线性范围和检出限

Table 1 Regression equations, linear range, detection limit for ergosterol, cholesterol, β -sitosterol mixture solution

成分	回归方程	相关系数 R^2	线性范围/ $(\mu\text{g} \cdot \text{L}^{-1})$	检出限/ $(\mu\text{g} \cdot \text{L}^{-1})$
Component	Regression equation	Correlation coefficient	Linearity range/ $(\mu\text{g} \cdot \text{L}^{-1})$	Detection limit/ $(\mu\text{g} \cdot \text{L}^{-1})$
麦角甾醇 Ergosterol	$y=3.421x+5.967$	0.999 8	0.1~1 500	0.03
胆甾醇 Cholesterol	$y=3.128x+3.967$	0.999 5	0.1~1 000	0.04
β -谷甾醇 β -sitosterol	$y=3.772x+6.023$	0.999 7	0.1~1 200	0.03

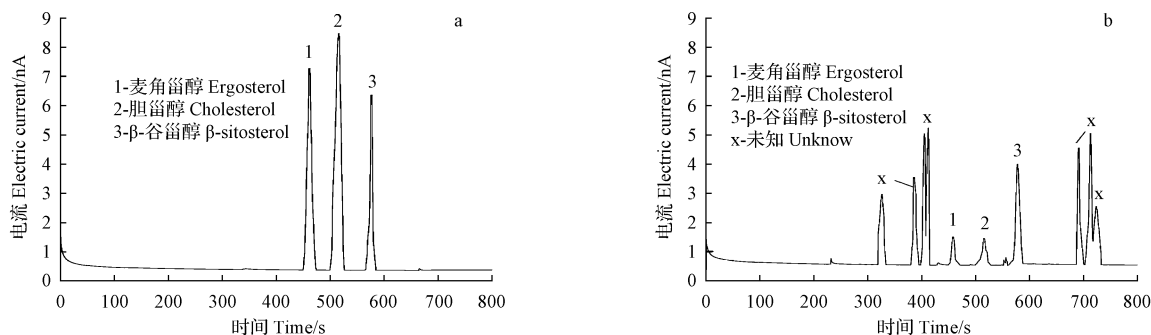
图 5 麦角甾醇、胆甾醇、 β -谷甾醇混合标准溶液(a)和淮山样品(b)的电泳图谱

Fig. 5 Electropherograms of ergosterol, cholesterol, β -sitosterol mixture solution(a) and sample of yam(b)

为了再次验证 CE-ED 方法的可靠性,在淮山提取液中添加适量麦角甾醇、胆甾醇、 β -谷甾醇标准溶液进行加标回收率试验,重复 6 次对样品进行检测。表 2 表明,麦角甾醇、胆甾醇、 β -谷甾醇的加标回收率范围 97.6%~

100.3%,均在误差范围之内;相对标准偏差(RSD)均不大于 2.3%,效果较好,可见用 CE-ED 方法检测淮山中植物甾醇含量准确、重现性好,可成为淮山中植物甾醇分析的可行方法。

表 2

淮山中胆甾醇、麦角甾醇、 β -谷甾醇的含量及加标回收率

Table 2

The content and spiked recoveries of cholesterol, ergosterol, β -sitosterol in yam

成分	样品含量	加入量	测得量	回收率	RSD /%
Component	Sample contents/ $(\text{mg} \cdot \text{g}^{-1})$	Added/ $(\text{mg} \cdot \text{g}^{-1})$	Found/ $(\text{mg} \cdot \text{g}^{-1})$	Recovery /%	
麦角甾醇 Ergosterol	0.100	0.50	0.598	98.0	2.2
胆甾醇 Cholesterol	0.082	0.50	0.580	97.6	2.3
β -谷甾醇 β -sitosterol	0.316	0.50	0.817	100.3	2.1

3 结论

该研究采用 CE-ED 法检测淮山中 3 种植物甾醇的含量。试验表明,在优化条件下,3 种植物甾醇在 10 min 内实现基线分离,被测物浓度与峰电流呈良好的线性关系。该方法简单可靠、准确、灵敏度高,重现性好,为淮山中植物甾醇类成分的测定提供了一种有效的方法。淮山中 3 种植物甾醇含量的测定显示,淮山具有较高的营养价值,有良好的开发前景。

参考文献

- [1] 胡月芳.毛细管电泳—电化学检测法测定淮山中 5 种活性成分[J].分析科学学报,2014,30(4):533-536.
- [2] 杨丰滇.传统山药和无硫山药 β -谷甾醇、腺苷、亚油酸含量研究[D].郑州:河南中医学院,2014.
- [3] 牛建平,孙瑞霞,孙剑辉.气相色谱—质谱法分析怀山药中的有机成分[J].河南师范大学学报(自然科学版),2007,5(2):122-125.
- [4] 宋明杰,包海鹰,图力古尔,等.椭圆嗜蓝孢子菌中四种甾类化合物的抗肿瘤活性及构效关系分析[J].菌物学报,2015,34(2):293-300.
- [5] 孙变娜,沈和定,吴洪喜,等.14 种石磺科贝类的胆甾醇含量测定[J].海洋科学,2015,39(1):24-28.
- [6] 邱丰艳,丁力,曹红云.高效液相色谱法测定油脂中 β -谷甾醇的含量[J].中国油脂,2014,39(7):91-95.
- [7] 李思明,冯怡,曾星.HPLC-APCI-MS/MS 法同时测定猪苓颗粒中麦角甾酮与麦角甾醇的含量[J].药物分析杂志,2014,34(4):649-653.
- [8] 张峻松,徐如彦,薄云川,等.毛细管气相色谱法测定烟草中的甾醇类化合物[J].烟草科技,2007(8):27-31.
- [9] 邱玉亮.高效毛细管电泳(HPCE)对优质小麦 HMWGS 的分离鉴定[J].麦类作物学报,2015,35(5):1-7.
- [10] 毛老师,钦晓峰,周杏琴.毛细管电泳分析生物样本中儿茶酚氧甲基转移酶 COMT 活性[J].分析试验室,2015,34(8):874-877.
- [11] 胡月芳,李建平,刘蓉,等.毛细管电泳—电致化学发光联用技术应用进展[J].理化检验—化学分册,2011,47(5):618-622.
- [12] DENG G H, CHEN S Y, WANG H, et al. Determination of active ingredients of *Phyllanthus urinaria* by capillary electrophoresis with amperometric detection[J]. J Liq Chromatogr Related Technol, 2012, 35(17): 2370.
- [13] 彭友元.毛细管电泳电化学检测法测定蜂胶中的黄酮和酚酸[J].分析试验室,2011,30(3):54-57.
- [14] 孔令瑶,汪云,曹玉华.毛细管电泳—电化学法对发芽黑米胚芽中 C-氨基丁酸含量的检测[J].分析测试学报,2008,27(5):527-530.
- [15] 邓光辉,王士伟,王辉,等.毛细管电泳安培法测定田基黄中的芦丁与槲皮素[J].分析试验室,2014,33(4):424-427.

Determination of Three Phytosterols in Yam by Capillary Electrophoresis With Electrochemical Detection

HU Yuefang

(College of Chemistry and Bioengineering, Hezhou University, Hezhou, Guangxi 542899)

Abstract: Taking yam as test material, a method of capillary electrophoresis coupled with electrochemical detection(CE-ED) was adopted for the determination of three phytosterol content (ergosterol, cholesterol, β -sitosterol) in yam. The effects of detection potential, concentration and pH of running buffer, separation voltage and injection time on the detection were investigated. The results showed that under the optimum conditions, a good baseline separation and highly sensitive detection were achieved in 10 minutes good linear relationship between peak currents and ergosterol, cholesterol and β -sitosterol concentration ranging from $0.1\text{--}1\text{ }500\text{ }\mu\text{g}\cdot\text{L}^{-1}$, $0.1\text{--}1\text{ }000\text{ }\mu\text{g}\cdot\text{L}^{-1}$, $0.1\text{--}1\text{ }200\text{ }\mu\text{g}\cdot\text{L}^{-1}$, with the detection limits($S/N=3$) of $0.03\text{ }\mu\text{g}\cdot\text{L}^{-1}$, $0.04\text{ }\mu\text{g}\cdot\text{L}^{-1}$, $0.03\text{ }\mu\text{g}\cdot\text{L}^{-1}$, respectively, the relative standard deviations (RSD) of peak currents were 1.5%, 1.7%, 1.6%, RSD of the migration time were 0.6%, 0.7%, 0.6%. The method was successfully applied to the assay of cholesterol, ergosterol and β -sitosterol in samples of yam. The spiked recoveries were in the range of 97.6%—100.3%, with relative standard deviations less than 2.3%.

Keywords: capillary electrophoresis-electrochemical detection; yam; ergosterol; cholesterol; β -sitosterol